

Construction de courbes numériques POD

*Application en qualification de
procédés CND*

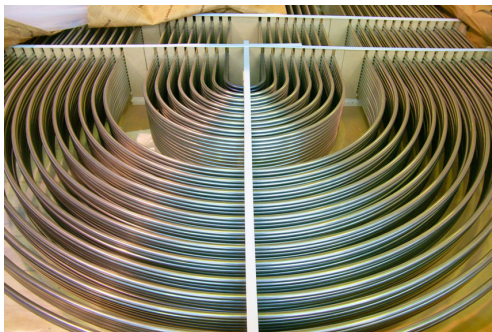
Anne Dutfoy & Loïc Le Gratiet & Bertrand
looss

Journées Utilisateurs OpenTurns
12 juin 2015



Le contrôle non destructif dans les GV

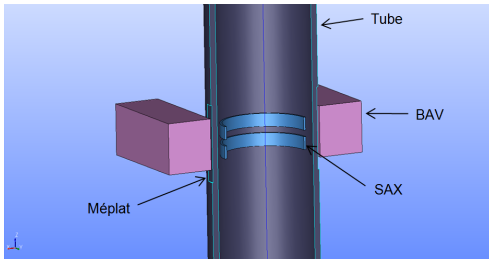
- Contrôle des usures sous barres antivibratoires (BAV) des générateurs de vapeur (GV).
- **Type de contrôle** : courants de Foucault.



- **Objectif** : estimer la probabilité de détection d'un méplat en fonction de sa profondeur (projets APEX4/MOVIE).

Courbe de probabilité de détection de défaut (POD)

- Construction de courbes **numériques** POD



Paramètres :

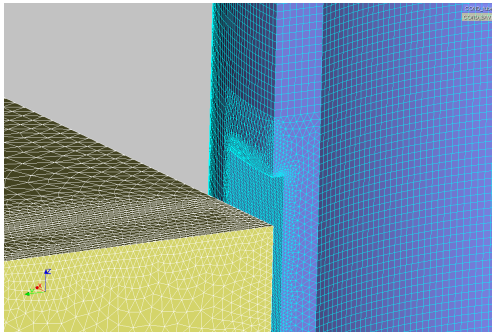
- E – épaisseur du tube,
- h_1 – hauteur du méplat 1,
- h_2 – hauteur du méplat 2,
- $ebav_1$ – écart BAV - méplat 1,
- $ebav_2$ – écart BAV - méplat 2.

Paramètre d'intérêt a :

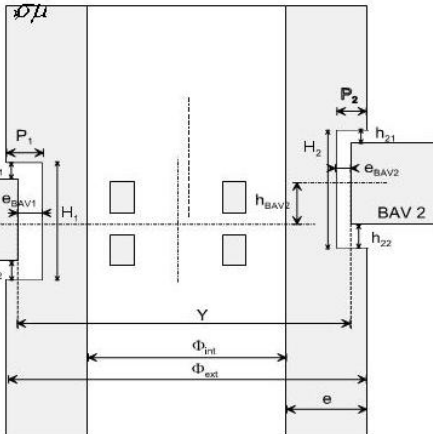
- $a = \max(P_1, P_2)$ – max. profondeur méplats 1 & 2.

Code Carmel_3D

- Utilisation du code éléments finis **Code_Carmel3D** (100 simulations).
- Maillage éléments finis :

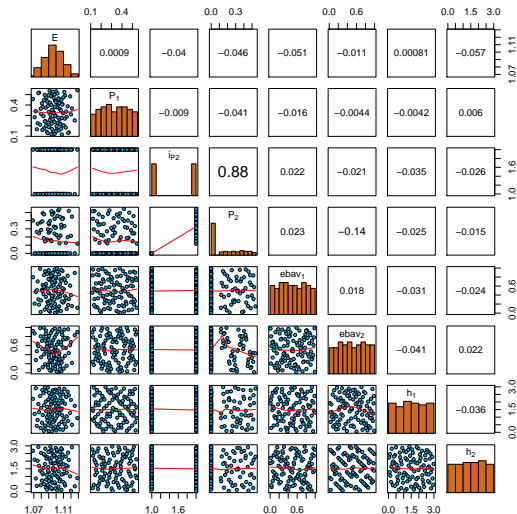


Lois des paramètres influents

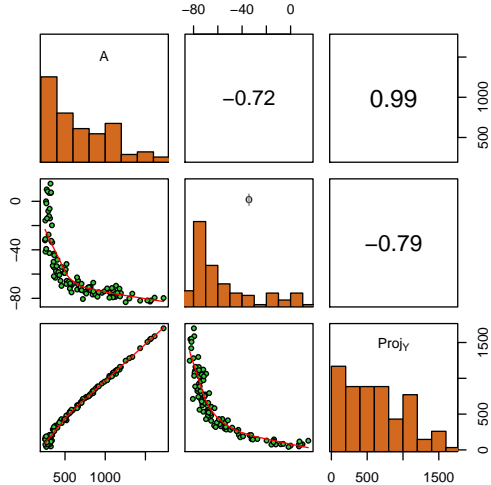


- $E \sim \mathcal{N}(1.097, 0.01305)$ – épaisseur du tube (mm),
- $h_1 \sim \mathcal{U}[0.03, 3]$ – hauteur du méplat 1 (mm),
- $h_2 \sim \mathcal{U}[0.03, 3]$ – hauteur du méplat 2 (mm),
- $ebav_1 \sim \mathcal{U}[0, 1]$ – écart BAV - méplat 1 (mm),
- $ebav_2 \sim \mathcal{U}[0, 1]$ – écart BAV - méplat 2 (mm),
- $P_1 \sim \mathcal{U}[0.109, 0.545]$ – profondeur méplat 1 (mm),
- $P_2 \sim \mathcal{U}[0.109, 0.545]$ – profondeur méplat 2 (mm).

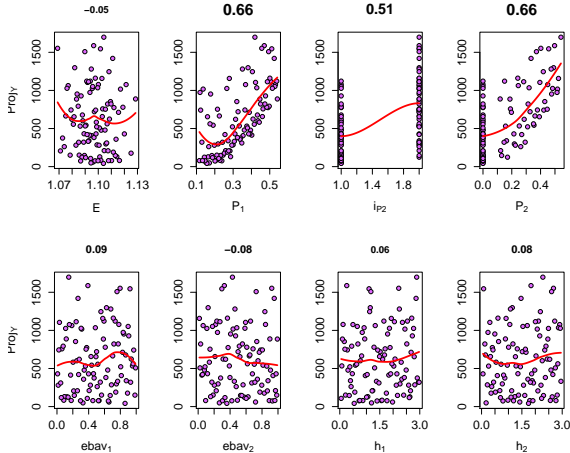
Plan d'expériences : suite de Sobol à 100 points



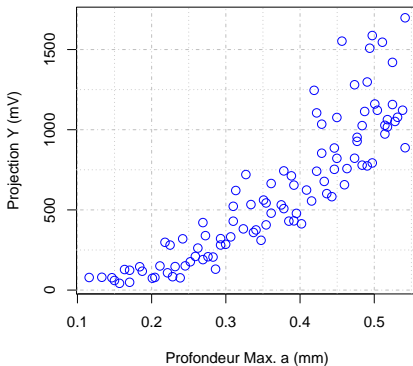
Réponses du code



Réponse d'intérêt



- **Objectif** : estimer la probabilité de détection d'un défaut en fonction de la profondeur maximale de méplat $a = \max(P_1, P_2)$.
- **Critère de détection** : un défaut est détecté lorsque la réponse Proj_Y dépasse le seuil de 200mV .

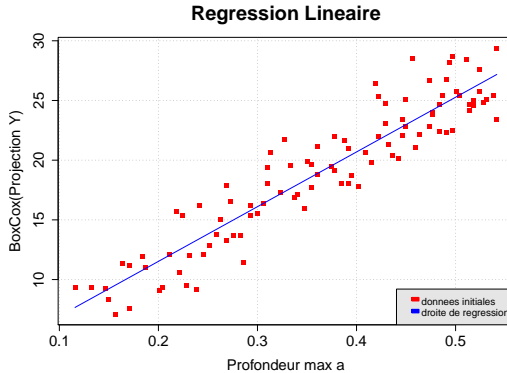


- L'approche de Berens suppose une **relation linéaire** entre Proj_Y et a .
- Pour satisfaire la linéarité on utilise une transformation de **Box-Cox** :

$$y_{\text{Proj}_Y} = \begin{cases} (\text{Proj}_Y^\lambda - 1) / \lambda & \lambda \neq 0 \\ \log(\text{Proj}_Y) & \lambda = 0 \end{cases}$$

où λ est estimé par maximum de vraisemblance (ici $\hat{\lambda} = 0.30$).

- Données après transformation de Box-Cox :



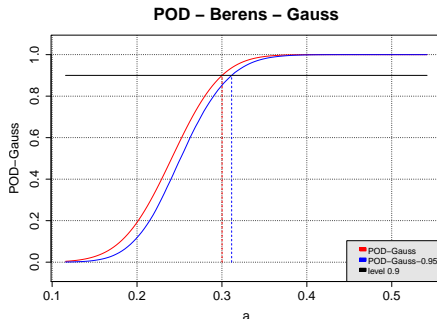
Modèle de Berens

- Le modèle de Berens suppose la relation linéaire suivante :

$$y_{\text{Proj}_Y} = \beta_0 + \beta_1 \mathbf{a} + \varepsilon, \quad \varepsilon \sim \mathcal{N}(0, \sigma_\varepsilon)$$

- La courbe POD est alors donnée par :

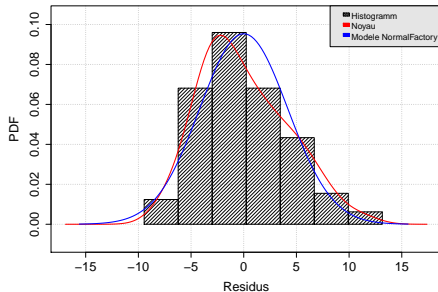
$$\text{POD}(a) = \mathbb{P}(y_{\text{Proj}_Y} > S) = \Phi\left(\frac{\beta_0 + \beta_1 a - S}{\sigma_\varepsilon}\right)$$



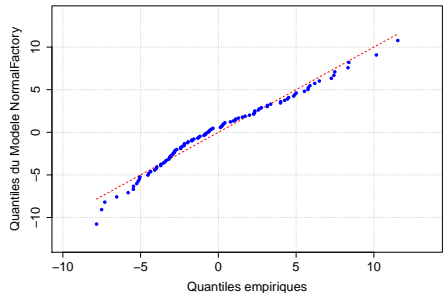
- Intervalle de confiance obtenu par méthode **Monte-Carlo**.

Analyse des résidus

Loi des residus



Test QQ plot



- **Résultat** : les résidus s'éloignent de l'hypothèse gaussienne.

Berens sans l'hypothèse gaussienne

- **Nouvelle modélisation** : On garde les hypothèses suivantes :
 - linéarité,
 - résidus indépendants et identiquement distribués.
- En revanche **on ne considère plus l'hypothèse gaussienne**.
- **Solutions** :
 - **modèle binomial**,
 - **reconstruction de densité** (histogramme, méthode à noyaux).

Le modèle Binomial

- Soit $(\varepsilon_i)_{i=1,\dots,n}$ les **résidus du modèle linéaire**. Le modèle binomial consiste à **compter le nombre de résidus** pour lesquels le seuil de détection est dépassé :

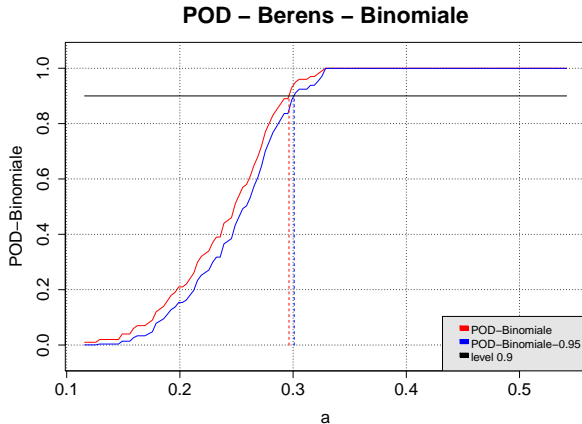
$$N(a) = \#\{\varepsilon_i \text{ tels que } \beta_0 + \beta_1 a + \varepsilon_i > S\}$$

- On a alors l'estimation suivante de la POD :

$$\text{POD}(a) \approx \frac{N(a)}{n}$$

- Intervalle de confiance** : $N(a)$ suit une loi binomiale de paramètres $(n, \text{POD}(a))$. On peut en déduire des **intervalles de confiances analytiques** (merci Anne).

Courbe POD avec le modèle Binomial



Reconstruction de densité

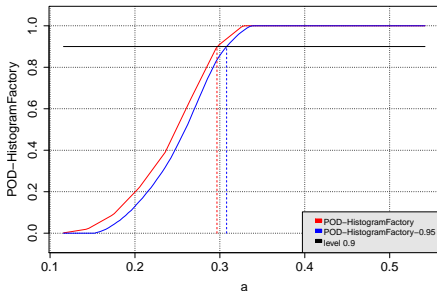
- **Principe** : on utilise une **estimation \hat{f} non paramétrique de la densité** de ε . A partir de \hat{f} on en déduit la **fonction de répartition empirique \hat{F}** et on estime la POD avec :

$$\text{POD}(a) = \hat{F}(\beta_0 + \beta_1 a - S)$$

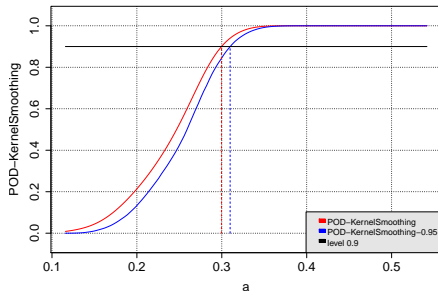
- **Intervalle de confiance** : par méthode **Bootstrap** (échantillonnage avec remise).

POD avec reconstruction de densité

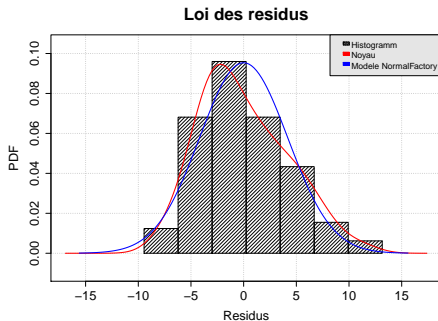
POD – Bootstrap – Histogramme



POD – Bootstrap – Recons Noyau

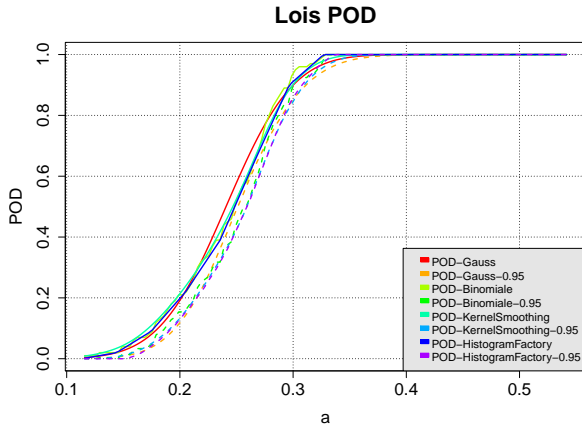


Analyse des résidus pour la reconstruction à noyaux



- **Résultat** : on est meilleur qu'avec l'hypothèse gaussienne.

Résumé



Conclusions et perspectives

- L'approche de **Berens + Box-Cox** a pu être implémentée dans OpenTurns et **généralisée** au cas non gaussien.
- **Outils OpenTurns utilisés :**
 - Planification d'expériences (suite de Sobol),
 - transformation de Box-Cox,
 - régression linéaire,
 - statistique Descriptive,
 - tests d'hypothèses,
 - estimation non paramétrique de densité,
 - exploitation de distributions empiriques,
 - méthode Monte-Carlo,
 - méthode Bootstrap.
- **Perspectives :** implémentation du modèle de krigeage pour lever l'hypothèse linéaire.
- **Exploitation du krigeage :** construction d'intervalles de confiance, analyse de sensibilité, planification d'expériences séquentielle,...
- **Chaine logiciel OpenTurns / Carmel_3D / OpenTurns.**